Laboratorio di Fisica

Docenti: Prof. A. Garfagnini - Prof. M. Lunardon Corso di Laurea in Fisica Canale 1 A-L Anno Accademico 2020/2021

ESPERIENZA DI LABORATORIO

Catena Elettronica

Turno T2

NICOLÒ LAI 1193976 nicolo.lai@studenti.unipd.it

 $\begin{array}{c} {\rm DATA} \ \ {\rm ESPERIENZA} \\ 23/11/2020 \\ 25/11/2020 \\ 26/11/2020 \end{array}$

1 Obiettivo

Assemblare una catena elettronica associata ad un rivelatore di radiazione. Studiare il segnale in uscita e la risposta in frequenza dei singoli moduli e della catena elettronica completa.

2 Strumentazione e Componenti

Nel corso dell'esperienza vengono utilizzati:

- Multimetro digitale Metrix MTX3292
- Generatore di funzioni Tektronix AFG1022
- Oscilloscopio digitale Tektronix TBS1102B
- Alimentatore di tensione continua TTi
- Due circuiti integrati TL082C (in totale quattro amplificatori operazionali)
- Resistori e condensatori di varie taglie
- Scheda Arduino Due

3 Introduzione

L'esperienza si basa su l'assemblamento e sullo studio della risposta di una serie di moduli volti a simulare l'elettronica associata ad un rivelatore di radiazione. In laboratorio, quindi, si utilizza il generatore di funzioni per simulare un segnale acquisibile dalla rivelazione di un evento da parte del detector. Questo segnale viene inizialmente elaborato dal preamplificatore (di tipo charge sensitive) e successivamente dallo shaper (di tipo CR-RC). Il segnale in uscita dal formatore viene infine amplificato per favorirne l'acquisizione da parte di una DAQ, che corrisponde in questo caso all'ADC della scheda Arduino Due. I tre stadi (preamplificatore, shaper, amplificatore) costituiscono dunque la catena elettronica rappresentata in Figura 1.

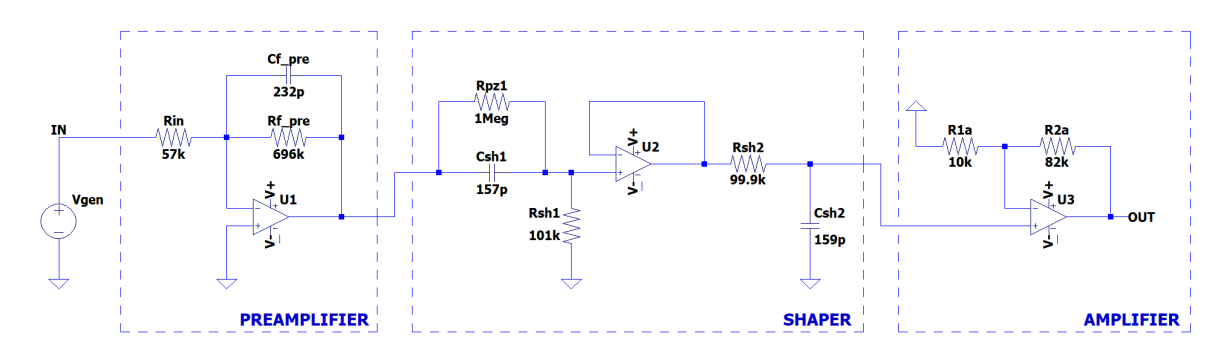


Figura 1: Schema a costanti concentrate della catena elettronica suddivisa nei tre moduli di interesse.

4 Preamplificatore

Il primo stadio della catena (preamplificatore) si utilizza per migliorare il rapporto segnale/rumore, in modo da trasferire un segnale più pulito all'elettronica di acquisizione. In laboratorio si assembla un preamplificatore charge sensitive: il modulo, infatti, consiste di un circuito integratore e la tensione in uscita è quindi direttamente proporzionale alla carica in ingresso. Nelle sezioni successive si vuole ricavare analiticamente il comportamento teorico del preamplificatore e, successivamente, verificarne l'accordo con la risposta sperimentale. In particolare, ci si concentra sulle caratteristiche del segnale in uscita, la sua linearità rispetto alla carica in ingresso e sull'analisi in frequenza del circuito.

4.1 Configurazione Sperimentale

Si comincia utilizzando il generatore per simulare i segnali del rivelatore, impostando sul CH1 un impulso quadrato di frequenza $f_{\rm gen}=1\,\rm kHz$, tensione di riferimento $V_{\rm high}=0\,\rm V$, ampiezza negativa $V_{\rm low}=-1\,\rm V$ e durata $T=5\,\mu s$ (cioè il tempo di raccolta del segnale). Viene successivamente assemblato sulla breadboard il primo modulo in Figura 1 utilizzando le componenti circuitali riportate in Tabella 1, misurate con il multimetro Metrix. È dunque fondamentale che il segnale erogato dal generatore sia

Misure Dirette - Preamplificatore				
Label	Valore	F.S.		
$R_{ m in}$	$56.56\pm0.02\mathrm{k}\Omega$	$100\mathrm{k}\Omega$		
$R_{ m f}$	$696.1 \pm 0.3 \mathrm{k}\Omega$	$1000\mathrm{k}\Omega$		
$C_{ m f}$	$232 \pm 9\mathrm{pF}$	$1000\mathrm{pF}$		

Tabella 1: Misure dirette delle componenti circuitali.

negativo: avendo un amplificatore operazionale in configurazione invertente è infatti una richiesta necessaria per poter avere in output un segnale positivo, cioè già acquisibile con la scheda Arduino Due. Si utilizza poi un generatore di tensione continua con $V_{\rm cc}=+15\,{\rm V}$ e $V_{\rm ee}=-15\,{\rm V}$ per alimentare l'operazionale. Si assume che esso abbia un comportamento ideale, ovvero che il polo positivo ed il polo negativo si trovino allo

stesso potenziale ($virtual\ short$). Il segnale in ingresso $V_{\rm in}$ viene prelevato nel punto IN evidenziato nello schema mentre il segnale in uscita $V_{\rm out}^{\rm pre}$ dal preamplificatore viene prelevato al termine del primo modulo, entrambi utilizzando sonde $10{\rm X}$.

4.2 Trattazione Analitica

Concentrando inizialmente l'attenzione sul modulo di ingresso (generatore reale e cablaggio), il sistema è un filtro passa basso con frequenza di taglio $f_{\rm t}^{\rm in} \approx 32\,{\rm MHz}$, molto maggiore delle frequenze in gioco: risulta allora corretto assumere il modulo in ingresso del tutto equivalente ad un generatore ideale, come rappresentato in Figura 1. Trattando ora il preamplificatore, invece, la funzione di trasferimento del circuito è riportata in Equazione 1: si noti il segno negativo dovuto all'amplificatore operazionale posto in configurazione invertente, la presenza di un unico polo e l'assenza di zeri.

$$H(s) = -\frac{1}{R_{\rm in} C_{\rm f}} \frac{1}{s + \frac{1}{\tau_{\rm pre}}}$$
 con $\tau_{\rm pre} = R_{\rm f} C_{\rm f}$ (1)

Data la forma della funzione di trasferimento, la risposta in frequenza sarà quella di un filtro passa basso: rappresentando H(s) in un grafico di Bode ci si aspetta allora un andamento costante a basse frequenze fino alla frequenza di taglio $f_{\rm t} = \frac{1}{2\pi\tau_{\rm pre}}$ e una decrescita lineare con pendenza $-20\,{\rm dB/dec}$ per frequenze maggiori. Facendo riferimento ai valori delle componenti circuitali riportati in Tabella 1, il tempo caratteristico del preamplificatore e la frequenza di taglio del filtro risultano essere

$$\tau_{\rm pre} = 161 \pm 6 \,\mathrm{\mu s}$$
 $f_{\rm t} = 0.99 \pm 0.04 \,\mathrm{kHz}$ (2)

Si ricava, infine, la risposta del circuito ad un segnale a gradino: nell'approssimazione $T \ll \tau^{\text{pre}}$ si trova una crescita lineare direttamente proporzionale alla carica in ingresso al preamplificatore per 0 < t < T e una decrescita smorzata esponenzialmente per $t \gg T$:

$$V_{\text{out}}^{\text{pre}}(t) = \begin{cases} -\frac{Q_{\text{in}}(t)}{C_{\text{f}}} & 0 < t < T \\ -\frac{Q_{\text{c}}}{C_{\text{f}}} e^{-\frac{t}{\tau^{\text{pre}}}} & t \gg T \end{cases} \qquad \text{con} \begin{cases} Q_{\text{in}}(t) = I_{\text{in}} t = \frac{V_{\text{in}}}{R_{\text{in}}} t \\ Q_{\text{c}} = I_{\text{in}} T = \frac{V_{\text{in}}}{R_{\text{in}}} T \end{cases}$$
(3)

dove, appunto, $Q_{\rm in}(t)$ corrisponde alla carica raccolta al tempo t dal preamplificatore mentre $Q_{\rm c}$ rappresenta la carica totale accumulata nel preamplificatore. Ci si aspetta allora che il segnale in uscita $V_{\rm out}$ visualizzato sull'oscilloscopio presenti una salita lineare fino ad un valore di tensione massimo $V_{\rm out}^{\rm max} = \frac{Q_c}{C_{\rm f}}$ e, successivamente, una decrescita esponenziale di tempo caratteristico $\tau_{\rm pre}$.

Al fine di verificare il corretto funzionamento dell'apparato sperimentale, si riportano in Tabella 2 le misure sperimentali del massimo della tensione e della costante di tempo τ_{pre} acquisite con l'oscilloscopio. Si vuole allora confrontare queste ultime con le aspettative teoriche.

Controllo Apparato - Preamplificatore				
$V_{ m max}^{ m th} \left({ m mV} ight)$	$V_{\mathrm{max}}^{\mathrm{sper}}\left(\mathrm{mV}\right)$	$ au_{\mathrm{pre}}^{\mathrm{th}}\left(\mu\mathrm{s}\right)$	$ au_{\mathrm{pre}}^{\mathrm{sper}}\left(\mu\mathrm{s}\right)$	
388 ± 17	392 ± 7	161 ± 6	158 ± 2	

Tabella 2: Confronto tra stime teoriche e misure sperimentali.